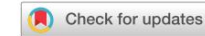


ČLÁNEK

OTEVŘENO



Hodnocení rizika retinální vaskulární okluze po očkování proti COVID-19

Jing-Xing Li 1,2,3, Yu-Hsun Wang 4, Henry Bair 5,6, Shu-Bai Hsu 7,8, Connie Chen 9,10, James Cheng-Chung Wei 4,11,12,13 a Chun-Ju Lin 1,2,5,14



Vakcíny proti koronavirové nemoci 2019 (COVID-19) jsou spojeny s několika očními projevy. Byly hlášeny nové důkazy; nicméně kauzalita mezi těmito dvěma je diskutabilní. Naším cílem bylo prozkoumat riziko retinální vaskulární okluze po očkování proti COVID-19. Tato retrospektivní kohortová studie využívala globální síť TriNetX a zahrnovala jedince očkované vakcínami COVID-19 mezi lednem 2020 a prosincem 2022. Vyloučili jsme jedince s anamnézou retinální vaskulární okluze nebo ty, kteří užívali jakoukoli systémovou medikaci, která by mohla potenciálně ovlivnit koagulaci krve před očkováním. Abychom porovnali riziko retinální vaskulární okluze, použili jsme Coxovy modely proporcionalních rizik přizpůsobené mnoha proměnným po provedení shody skóre sklonu 1:1 mezi očkovanými a neočkovanými kohortami. Jedinci s očkováním proti COVID-19 měli vyšší riziko všechny forem retinální vaskulární okluze za 2 roky po očkování s celkovým poměrem rizik 2,19 (95% interval spolehlivosti 2,00–2,39). Kumulativní výskyt retinální vaskulární okluze byl významně vyšší ve vakcinované kohortě ve srovnání s neočkovanou kohortou, 2 roky a 12 týdnů po vakcinaci. Riziko cévní okluze sítnice se významně zvýšilo během prvních 2 týdnů po vakcinaci a přetrvávalo po dobu 12 týdnů. Navíc jedinci s první a druhou dávkou BNT162b2 a mRNA-1273 měli významně zvýšené riziko retinální vaskulární okluze 2 roky po vakcinaci, zatímco mezi značkou a dávkou vakcín nebyly zjištěny žádné rozdíly. Tato velká multicentrická studie posiluje zjištění předchozích případů. Cévní okluze sítnice nemusí být náhodným nálezem po očkování proti COVID-19.

npj Vaccines (2023) 8:64; <https://doi.org/10.1038/s41541-023-00661-7>

ÚVOD

Extrémně nakažlivý těžký akutní respirační syndrom koronavirus 2 (SARS-CoV-2) je zodpovědný za koronavirové onemocnění 2019 (COVID-19). Od konce roku 2020 bylo vyvinuto mnoho vakcín, včetně messenger RNA (mRNA) vakcín (BNT162b2 [Pfizer-BioNTech] a mRNA-1273 [Moderna]), adjuvantrních rekombinantních proteinových vakcín (Novavax) a adenovirových vektorových vakcín (ChAdOx1 -S vakcína [Oxford/AstraZeneca] a Ad26.COV2.S [Janssen-Johnson&Johnson]). V důsledku toho bylo zdokumentováno několik možných komplikací v důsledku zvýšené proočkovanosti.

Okluze retinální žily (RVO) je po diabetické retinopatií druhou nejčastější příčinou ztráty zraku související s retinálními vaskulárními chorobami. RVO souvisí s tromboembolismem způsobeným kompresí cév, vazospasmem nebo degenerací cévních stěn. Okluze retinální arterie (RAO) je způsobena vazospasmem, vaskulitidou, sníženou arteriální perfuzí a tromboembolismem retinálních arterií vycházejících z ipsilaterální karotidy, obliku aorty, nebo srdeční komory. Na základě lokalizace uzávěru lze RAO a RVO dále klasifikovat na centrální a větvené formy.

Infekce SARS-CoV-2 může urychlit retinální cévní příhody^{2,3} RVO po očkování proti COVID-19 je neobvyklé. Nicméně přibývající literatury zahrnující kazuistiky o vaskulární okluzi sítnice po očkování^{4–13}. Zajímavé, některé

studie o vaskulární okluzi sítnice souvisejely s vakcinací mRNA COVID-19^{4,15}; zahrnuté vakcíny zahrnují mRNA vakcíny, mRNA-127310 a BNT162b2^{7,11,16}, stejně jako vakcínu na bázi virového vektoru ChAdOx1^{12,17}. Kvalita těchto údajů však nebyla dostatečná pro stanovení příčinného vztahu mezi retinální vaskulární okluzí a očkováním proti COVID-19.

Cílem této studie bylo zjistit, zda vakcíny proti COVID-19 souvisí se zvýšeným rizikem retinální vaskulární okluze, a zvýšit povědomí o pravděpodobnosti retinálních vaskulárních příhod v důsledku zvýšeného trombotického zánětlivého stavu spojeného s očkováním COVID-19.

VÝSLEDEK

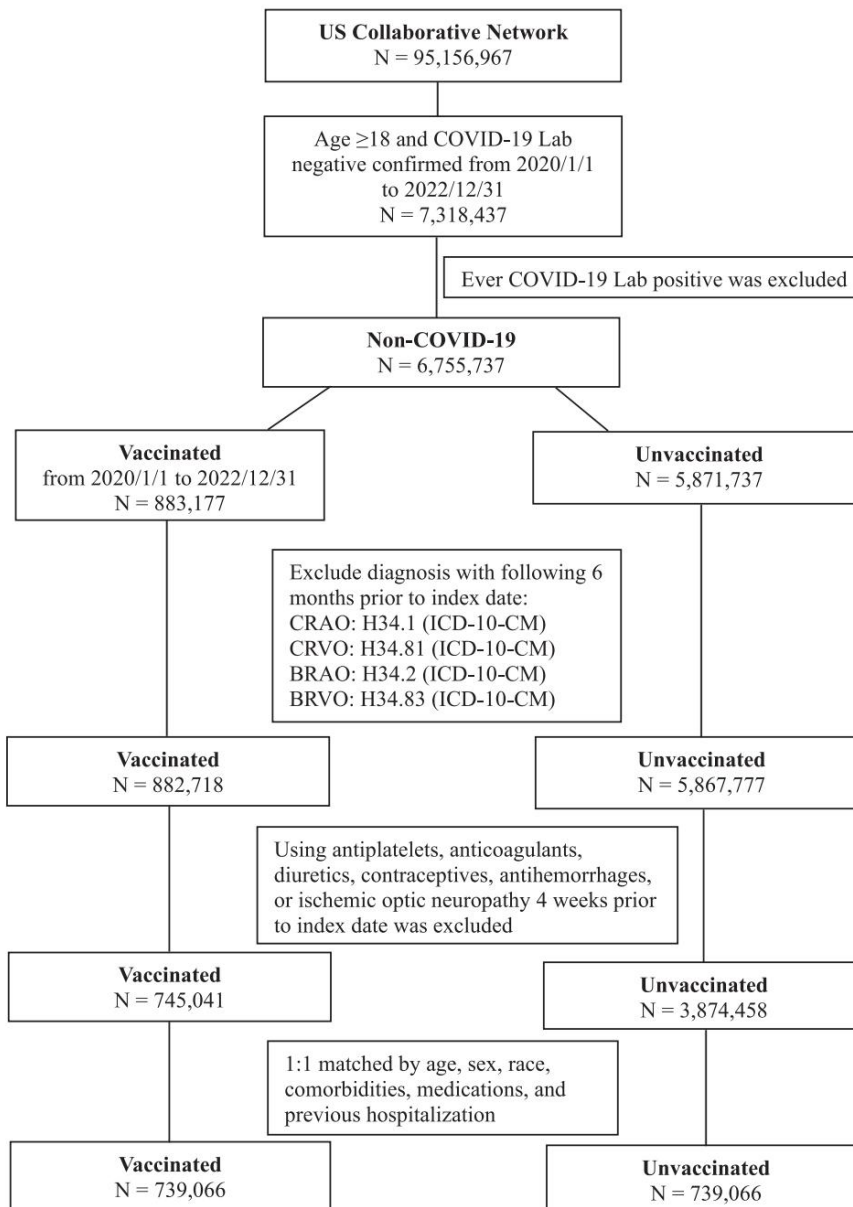
Charakteristiky pacientů a stratifikovaná analýza Sítě TriNetX shrnula informace o celkem 95 156 967 jednotlivcích, z nichž 7 318 437 splnilo kritéria pro zařazení. Obrázek 1 představuje vývojový diagram výběru pacienta. Po vyloučení případů s potvrzením diagnózy COVID-19 bylo 6 755 737 jedinců rozděleno do dvou kohort: 883 177 očkovaných a 5 871 737 neočkovaných. V obou kohortách byla vyloučena jakákoli diagnóza retinální vaskulární okluze šest měsíců před datem indexu. Zvažovali jsme také účinek systémové medikace a vyloučili případy s použitím jakýchkoli protidešticek,

¹ Oddělení všeobecného lékařství, China Medical University Hospital, Taichung, Taiwan. ³Absolvent Institutu klinických laboratorních věd a lékařské biotechnologie, National Taiwan University, Taipei, Taiwan.

Univerzitní nemocnice, Taichung, Tchaj-wan.⁵ ⁶Oftalmologická klinika, China Medical University Hospital, Taichung, Taiwan.

Medicina, Stanford, CA, USA. ⁷College of Medicine, Čínská lékařská univerzita, Taichung, Tchaj-wan. ⁸Department of Medical Research, Chung Shan Medical University, Taichung, Tchaj-wan. ⁹Institut optometrie, Chung Shan Medical University, Taichung, Taiwan. ¹⁰Institut optometrie, Chung Shan Medical University, Taichung, Tchaj-wan. ¹¹Institute of Medicine, Chung Shan Medical University, Taichung, Taiwan. ¹²Katedra alergie, imunologie a reumatologie, Chung Shan Medical University Hospital, Taichung, Tchaj-wan.

¹³Institut integrované medicíny, Čínská lékařská univerzita, Taichung, Tchaj-wan. ¹⁴Katedra optometrie, Asia University, Taichung, Taiwan. e-mail: jccwei@gmail.com; doctoraga@gmail.com



Obr. 1 Vývojový diagram návrhu studie pro identifikaci očkovaných a neočkovaných kohort. Datum přístupu do databáze TriNetX bylo 15. února 2023.

antikoagulancia, diureтика, antikoncepcie nebo antihemoragie 4 týdny před datem indexu. Nakonec zůstalo 745 041 očkovaných a 3 874 458 neočkovaných jedinců. Případli jsme 739 066 očkovaných kohort k neočkované kohortě v poměru 1:1. Tabulka 1 uvádí základní charakteristiky studované populace. Po spárování byly průměrný věk očkované skupiny $52,5 \pm 18,5$ let, zatímco neočkované skupiny $52,2 \pm 18,2$ let. Mezi těmito dvěma kohortami nebyly žádné rozdíly v žádné z proměnných. Tabulka 2 ukazuje stratifikovanou analýzu založenou na věku, pohlaví a rase. Jedinci ve věku od 18 do 64 let mají zvýšené riziko retinální vaskulární okluze s výjimkou CRAO.

Značka vakcín

V analýze podskupin byla první dávka definována jako jedinci, kteří dostali jednu dávku vakcíny COVID-19, a druhá dávka byla definována jako jedinci, kteří dostali druhou dávku, která byla identická s první dávkou. Tabulka 3 uvádí výsledky očkování různými značkami vakcín COVID-19. Riziko

retinální vaskulární okluze se významně zvýšila po první a druhé dávce BNT162b2 nebo mRNA-1273 během 2 let. Rizika se mezi příjemci BNT162b2 a mRNA-1273 nelišila. Ačkoli riziko retinální vaskulární okluze bylo zvýšené po první dávce Ad26.COV2.S, riziko nebylo významné. Dvanáct týdnů po vakcinaci všech značek vakcín se riziko vaskulární okluze sítnice nevýznamně zvýšilo.

Riziko vaskulární okluze sítnice po 2 letech a 12 týdnech

Obrázek 2 ukazuje riziko vaskulární okluze sítnice po 2 letech a 12 týdnech po aplikaci vakcín COVID-19. Doplňková tabulka 1 uvádí původní údaje s počtem příhod a četností výskytu. Celkové riziko retinální vaskulární okluze ve očkované kohortě bylo 2,19krát vyšší než u neočkované kohorty po 2 letech (95% CI 2,00–2,39). Dva roky po očkování se šance všech podtypů (BRAO, BRVO, CRAO a BRVO) na retinální cévní okluzi významně zvýšily v r.

Tabulka 1. Demografické charakteristiky pacientů s a bez očkování proti COVID-19.

	Před PSM			Po PSM		
	Očkováno N = 745,041	Neočkováno N = 3,874,458	SMD	Očkováno N = 739,066	Neočkováno N = 739,066	SMD
Stáří	52,6 ± 18,5	46,7 ± 18,1	0,322	52,5 ± 18,5	52,2 ± 18,2	0,016
Sex						
ženský	441083 (59,2)	2092041 (54,0)	0,105	436871 (59,1)	434259 (58,8)	0,007
mužský	303757 (40,8)	1619285 (41,8)	0,021	301994 (40,9)	269103 (36,4)	0,091
Neznámý	201 (0,027)	163132 (4,210)		201 (0,027)	35704 (4,831)	
Závod						
Bílý	549172 (73,7)	2437160 (62,9)	0,234	543886 (73,6)	550999 (74,6)	0,022
Afro-Američan	89896 (12,1)	635883 (16,4)	0,125	89699 (12,1)	91490 (12,4)	0,007
asijský	26491 (3,6)	84507 (2,2)	0,082	26065 (3,5)	25707 (3,5)	0,003
Komorbidity						
Hypertenzní onemocnění	249533 (33,5)	508399 (13,1)	0,496	243707 (33,0)	246040 (33,3)	0,007
Diabetes mellitus 2. typu	112966 (15,2)	211428 (5,5)	0,323	108896 (14,7)	105099 (14,2)	0,015
Hyperlipidémie	222993 (29,9)	398604 (10,3)	0,505	217306 (29,4)	220485 (29,8)	0,009
Ischemické choroby srdeční	73108 (9,8)	122073 (3,2)	0,273	69808 (9,4)	65150 (8,8)	0,022
Cerebrovaskulární onemocnění	41250 (5,5)	67952 (1,8)	0,203	38795 (5,2)	34472 (4,7)	0,027
Glaukom	23249 (3,1)	35391 (0,9)	0,157	22601 (3,1)	14889 (2,0)	0,066
Arteriální tromboembolismus	6755 (0,9)	7517 (0,2)	0,096	6140 (0,8)	3957 (0,5)	0,036
Žilní tromboembolismus	16777 (2,3)	24679 (0,6)	0,136	15321 (2,1)	12842 (1,7)	0,025
Těhotenství	19101 (2,6)	85791 (2,2)	0,023	19065 (2,6)	17731 (2,4)	0,012
Nadváha a obezita	110743 (14,9)	217725 (5,6)	0,309	106495 (14,4)	104769 (14,2)	0,007
Kouření	64609 (8,7)	172295 (4,4)	0,171	62553 (8,5)	60899 (8,2)	0,008
Léky						
ACEI/ARB	136336 (18,3)	283478 (7,3)	0,333	132620 (17,9)	134004 (18,1)	0,005
Beta-blokátor	122425 (16,4)	243745 (6,3)	0,324	118402 (16,0)	116162 (15,7)	0,008
CCB	86635 (11,6)	180981 (4,7)	0,256	84307 (11,4)	80676 (10,9)	0,016
metformin	55369 (7,4)	112287 (2,9)	0,206	53520 (7,2)	53063 (7,2)	0,002
Látky snižující hladinu lipidů	164276 (22,0)	329242 (8,5)	0,384	159650 (21,6)	160913 (21,8)	0,004
kortikosteroidy	163232 (21,9)	333649 (8,6)	0,376	157965 (21,4)	158061 (21,4)	<0,001
NSAID	191038 (25,6)	507084 (13,1)	0,322	186271 (25,2)	188800 (25,5)	0,008
Antipsychotika	61980 (8,3)	137901 (3,6)	0,202	59578 (8,1)	57996 (7,8)	0,008
Předchozí hospitalizace	106573 (14,3)	224481 (5,8)	0,286	102014 (13,8)	97498 (13,2)	0,018

ACEI inhibitor angiotenzin konvertujícího enzymu, ARB blokátory receptoru angiotenzinu II, CCB blokátory kalciových kanálů, N číslo, NSAID nesteroidní protizánětlivá léčiva, PSM propensity score matching, SMD standardizovaný průměrný rozdíl.

očkována cohorta. Nebezpečí retinální vaskulární okluze a jeho podtypy byly vyšší během 12 týdnů než podtypy po 2 let. S ohledem na potenciální akutní důsledky COVID-19 očkování a jeho dočasný účinek jsme zkoumali dvakrát týden výskyt čtyř forem retinální vaskulární okluze do 12 týdnů po očkování proti COVID-19.

Dvoutýdenní riziko vaskulární okluze sítnice za 12 týdnů Obrázek 3 uvádí výsledky analýzy podskupiny jednou za dva týdny rizika retinální vaskulární okluze. Doplňková tabulka 2 poskytuje původní údaje s počtem událostí a četností výskytu. Kormidelník multivariační analýza ukázala, že riziko retinální vaskulární okluze ve vakcinované skupině byla vyšší než ve vakcinované skupině neočkována skupina do 2 týdnů po očkování, která trvala 12 týdnů. Tento efekt ovlivnil všechny podtypy kromě CRAO 10–12 týdnů po očkování.

Obrázek 4 ukazuje výsledky Kaplan-Meierovy analýzy, který odhalil, že kumulativní výskyt retinálních vaskulárních

okluze a jejich subtypů byly dva roky po vakcinaci významně zvýšeny u očkovaných než u neočkovaných cohort (log-rank $p < 0,001$). Tento trend byl pozorován i ve 12 týdnů po vakcinaci COVID-19 (log-rank $p < 0,001$) (doplňkový obr. 1).

Časový průběh rizika vaskulární okluze sítnice

Obrázek 5 znázorňuje časový vývoj rizik spojených se sítnicí cévní okluze a její podtypy. Riziko retinálních cév okluze se zvýšila 27 dní po očkování proti COVID-19. Riziko cévní okluze větve sítnice bylo větší u 6 a 3 dny pro BRAO a BRVO. Na rozdíl od toho, pravděpodobnost centrální retinální vaskulární okluze byla větší v 15 a 45 dní pro CRAO a CRVO. Doplňková tabulka 3 vyjmenovává rizika retinální vaskulární okluze a její podtypy v intervalu 3 dnů po očkování.

Tabulka 2. Stratifikovaná analýza rizika vystavení retinální vaskuální okluze na vakcíny COVID-19 ve srovnání s neočkovanými jedinci ve 2 letech.

	Počet událostí	Vakcinovaná	Neočkovaná HR a 95% CI
Věk 18–64 506 701	506,701		
Cévní okluze sítiniceb 415	240	1,87 (1,58–2,19)	
BRAO	95	63	1,65 (1,19–2,28)
BRVO	174	86	2,21 (1,69–2,87)
CRAO	45	34	1,47 (0,93–2,31)
CRVO	156	78	2,19 (1,65–2,88)
Věk >65	236,804	236,804	
Cévní okluze sítiniceb 1108	520	2,37 (2,12–2,62)	
BRAO	251	140	2,07 (1,67–2,54)
BRVO	443	180	2,70 (2,26–3,21)
CRAO	136	89	1,74 (1,32–2,28)
CRVO	390	169	2,55 (2,12–3,05)
Žena 437 682	437,682		
Cévní okluze sítiniceb 782	359	2,33 (2,05–2,64)	
BRAO	168	92	2,02 (1,56–2,61)
BRVO	332	133	2,64 (2,15–3,23)
CRAO	99	58	1,88 (1,34–2,60)
CRVO	272	115	2,54 (2,04–3,16)
Muž 302 269	302,269		
Cévní okluze sítiniceb 731	328	2,40 (2,10–2,73)	
BRAO	178	92	2,17 (1,67–2,80)
BRVO	277	104	2,81 (2,23–3,52)
CRAO	87	55	1,69 (1,20–2,37)
CRVO	266	104	2,79 (2,21–3,50)
Bílý	545,223	545,223	
Cévní okluze sítiniceb 1146	546	2,31 (2,08–2,55)	
BRAO	278	149	2,12 (1,72–2,59)
BRVO	465	179	2,79 (2,34–3,31)
CRAO	135	86	1,78 (1,35–2,34)
CRVO	396	175	2,52 (2,10–3,01)
Afro-Američan	89,833	89,833	
Cévní okluze sítiniceb 218	118	2,05 (1,63–2,56)	
BRAO	40	25	1,85 (1,11–3,07)
BRVO	84	42	2,18 (1,50–3,16)
CRAO	37	19	2,14 (1,22–3,73)
CRVO	83	41	2,28 (1,56–3,31)
asijský	26 080	26 080	
Cévní okluze sítiniceb 40	16	2,62 (1,46–4,68)	
BRAO	<10a	<10a	1,93 (0,46–8,11)
BRVO	22	<10a	2,84 (1,25–6,39)
CRAO	<10a	<10a	3,69 (0,41–33,00)
CRVO	<10a	<10a	1,78 (0,64–4,93)

^a Kvůli politice TriNetX bude automaticky jakékoli číslo menší než 10 přiřazeno jako <10.

^b Diagnóza retinální vaskuální okluze byla určena jejím diagnostických kódům, spíše než součtem jeho podtypů. Poměr rizika HR, 95% CI 95% interval spolehlivosti.

DISKUSE

Prokázali jsme vyšší riziko a četnost výskytu sítinice cévní okluze po očkování proti COVID-19, po úpravě pro potenciální matoucí faktory¹⁸. Riziko retinálních cév okluze, s výjimkou CRAO, byla okamžitě pozorována v jednotlivci, kteří dostávají vakcíny proti SARS-CoV-2. Rizikové faktory

pro retinální vaskuální okluzi patří diabetes, hypertenze, obezita, ischemická choroba srdeční a [cévní mozková přihoda](#)^{19–21}. Pro zajištění spolehlivost výsledků jsme vhodně vyrovnavi základní linii charakteristiky v obou kohortách před analýzou.

Rozšířený výskyt mikrovaskuální trombózy v U pacientů s COVID-19 bylo prokázáno²². Očkování ChAdOx1 nCoV-19 může vést ke vzácnému rozvoji imunity trombotická trombocytopenie zprostředkována aktivací krevních destiček protilátky proti destičkovému faktoru 4 (PF4), který klinicky napodobuje autoimunitní heparinem indukovaná trombocytopenie²³. Velká kohorta studie²⁴ ukázala, že riziko VTE se mírně zvýšilo 1,10krát 8–14 dní po vакcinaci ChAdOx1 nCoV-19, ale nebylo zjištěno rozdíl pro jednotlivce, kterým byl podáván BNT162b2 očkování; riziko ATE po ChAdOx1 nCoV-19 a Vакcinace BNT162b2 se zvýšila 1,21krát a 1,06krát, respektive.

Trombóza, která se manifestuje před trombocytopenií, je uváděna jako vакcínou indukovaná imunitní trombotická trombocytopenie (VITT). Dvě imunizace založené na adenovirovém vektoru, ChAdOx1 nCoV-19 a Ad26.COV2.S jsou spojovány s vývojem VITT. VITT trombóza cerebrálních žilních dutin je převážně z adenovirových virových vektorových vakcín. The patologický mechanismus trombózy se předpokládá znamenat buď vrozenou nebo adaptivní reakci, zahrnující aktivace B a T lymfocytů a CD4 T lymfocytů jsou nezbytné pro regulace produkce protilátek specifických pro PF4/heparin²⁵.

VITT je velmi vzácná, život ohrožující nežádoucí komplikace s a 23% celková úmrtnost²⁶. Určitá zánětlivá vакcina adjuvans a techniky podávání mohou indukovat imunitní buňku nábor během VITT. Protilátky, které detekují vazbu na krevní destičky PF4 jsou příčinou VITT. Tyto protilátky jsou imunoglobulin G (IgG) molekuly, které aktivují krevní destičky vazbou na destičkový FcyIIa se skromnou afinitou²⁷. VITT se obvykle objevuje jako méně časté trombózy (trombóza mozkových žilních dutin a splanchnické trombózy žil), i když se může projevit i jako typická trombózy (mrtvice, plicní embolie a hluboká žilní trombóza) s těžkou trombocytopenií.

Trombóza se syndromem trombocytopenie (TTS) je více obecný popisný název pro syndrom trombózy a trombocytopenie jakékoli příčiny po očkování proti COVID-19. Někteří jedinci s TTS nemuseli být hodnoceni na protilátky proti PF4; nebo mají jiné příčiny trombózy a trombocytopenie než VITT, jako je antifosfolipidový syndrom, trombóza a trombocytopenie související s rakovinou, trombotická trombocytopenická purpura nebo diseminovaná intravaskuální koagulace.

Série 65 jedinců se sérologicky potvrzeným VITT, kteří opakované funkční testy v průběhu času zjistily, že funkční testy byly negativní u 74 % jedinců, v mediánu 15,5 týdne (95% CI, 5–28 týdnů)²⁸. Zásadní roli hraje VITT u retinálních vaskuálních onemocnění a může to dobře vysvětlit zvýšené riziko všech forem vaskuální okluze sítinice za 12 týdnů pozorované v analýze podskupin. Při vyšetření časová změna rizika retinální cévní okluze, která výrazně vzrostl krátce po očkování, zejména BRAO a BRVO. Nejvyšší rizika podtypů retinálních cév okluze různé. Nejrizikovější období po očkování proti COVID pro BRAO, BRVO, CRAO a CRVO bylo 6, 3, 15 a 45 dní, respektive. U BRAO a BRVO může být přímá embolie preferovaný mechanismus, zatímco pro CRAO a CRVO, VITT sekundární k imunizaci může být příčinou. VITT má a predilekce k žilní trombóze v CNS, splanchnické popř nadledvinové žily, u pacientů s neurologickými příznaky navíc k horečce a mírným modřinám již ve 4–28 a až 30 dní po očkování proti COVID-19. Příslušná literatura k tomu jsou extrémně omezené²⁹.

Nizozemský Lareb³⁰ ukázal, že míra výskytu VITT a TTS u jedinců dostávajících vakcín ChAdOx1-S byl 7,7 na milion očkování. Mezi nimi 13,4 na milion lidí

Tabulka 3. Riziko reintální vaskulární okluze významně vzrostlo u jedinců, kteří dostávali první a druhou dávku BNT162b2 a mRNA 1273 během 2 let.

	Očkováno		Neočkováný		HR (95% CI)	
	Počet událostí	výskyt (%)	Počet událostí	výskyt (%)		
2 roky						
BNT162b2						
První dávka	111,491		111,491			
	120	0,036	92	0,021	1,48 (1,12–1,94)	
Druhá dávka	96,135		96,135			
	116	0,042	107	0,030	1,36 (1,04–1,77)	
mRNA-1273						
První dávka	50,382		50,382			
	114	0,064	79	0,044	1,48 (1,10–1,97)	
Druhá dávka	47,536		47,536			
	106	0,069	75	0,048	1,50 (1,11–2,02)	
Ad26.COV2.S#						
První dávka	7158		7158			
	<10*	0,140	<10*	0,140	2,35 (0,74–7,39)	
Druhá dávka	162		162			
	0	-	0	-	NA	
12 týdnů						
BNT162b2						
První dávka	111,491		111,491			
	40	0,108	23	0,083	1,65 (0,98–2,75)	
Druhá dávka	96,135		96,135			
	40	0,121	29	0,111	1,36 (0,84–2,18)	
mRNA-1273						
První dávka	50,382		50,382			
	32	0,226	22	0,157	1,35 (0,78–2,31)	
Druhá dávka	47,536		47,536			
	33	0,223	23	0,158	1,37 (0,80–2,33)	
Ad26.COV2.S#						
První dávka	7158		7158			
	<10*	0,140	<10*	0,140	3,98 (0,44–35,60)	
Druhá dávka	162		162			
	0	-	0	-	NA	

HR Hazard ratio, NA neaplikovatelné, 95% CI 95% interval spolehlivosti.

*Díky zásadám TriNetX bude každé číslo menší než 10 automaticky přiřazeno jako <10.

#Podle příbalového letáku byla vyžadována jedna dávka Ad26.COV2.S.

kteří dostali první dávku a 1,7 na milion lidí, kteří dostal druhou dávku. Hlášené míry retinálních cév okluze pro Ad26.COV2.S, BNT162b2 a mRNA-1273 na milion vakcíny byly 5,7, 0,05 a 0,2. Nizozemí Farmakovigilanční centrum Lareb obdrželo tři zprávy o VITT/TTs s BNT162b2 a mRNA-1273; asociace však nejsou dostatečně silné. Velká mezinárodní síť kohortová studie³¹ prokázala o 30 % vyšší riziko trombocytopenie po jedné dávce vakcíny ChAdOx1-S, stejně jako trend ke zvýšenému riziku žilního TTS po očkování

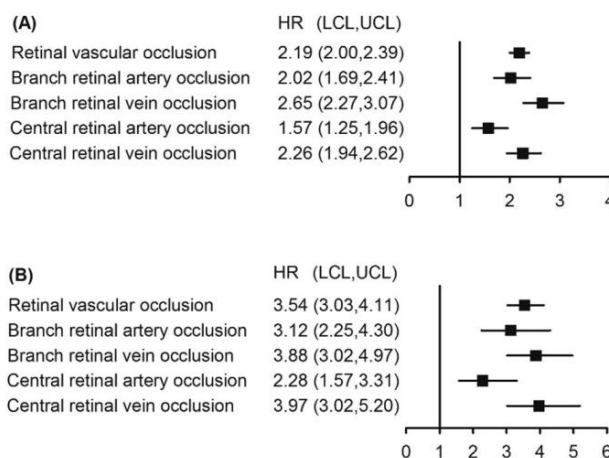
Ad26.COV2.S ve srovnání s BNT162b2. V této studii však vyšší riziko retinální vaskulární okluze u příjemců Ad26.COV2.S byl pozorován ve 2letých a 12týdenních obdobích, není výrazný nárůst. Je zajímavé, že trend byl zaznamenán, že riziko je výraznější po imunizaci Ad26.COV2.S než BNT162b2 nebo mRNA-1273.

Genom SARS-CoV-2 kóduje deset genů, z toho dvě třetiny které jsou nestrukturální. Druhá třetina genomu

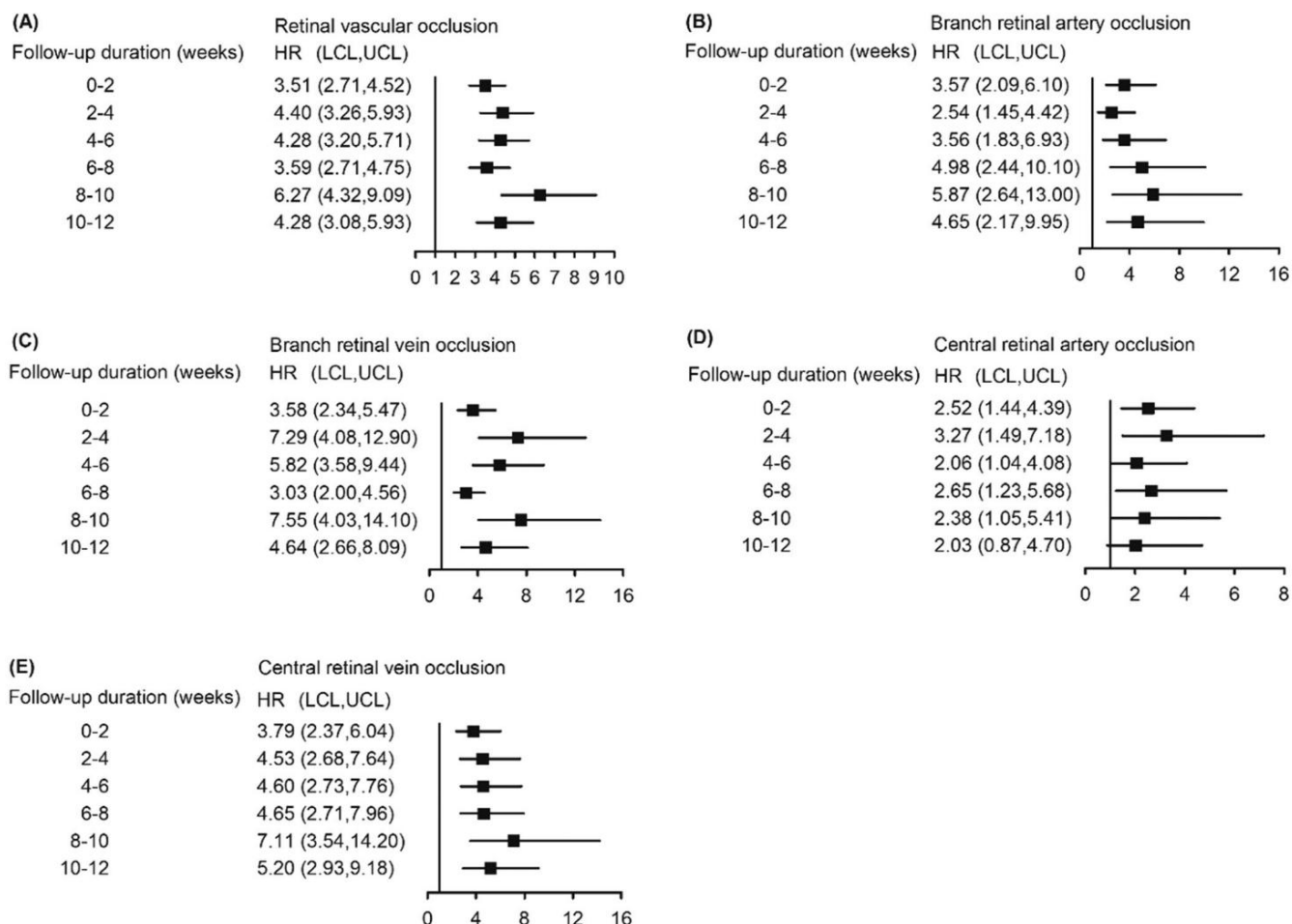
obsahuje čtyři hlavní strukturální geny, včetně spike, obálky, matrix a nukleokapsidové proteiny, stejně jako pět pomocných bílkovin 32. Messenger RNA vakcíny obsahují plně funkční mRNA, které mohou být přímo translatovány do S proteinu^{33,34}. BNT162b2 a mRNA-1273, dvě mRNA vakcíny v současné době široce použití, jsou technologicky velmi podobné. Obsahují kodonově optimalizované sekvence pro účinnou produkci celého S proteinu a využít aktuální signální sekvenci pro jeho biosyntézu. Molekulární mimikry proteinu S, který sdílí sekvenci homologie s lidskými proteiny, může hrát ústřední roli v sítnici cévní uzávěr³⁵.

Globální prevalence RVO, BRVO a CRVO u jednotlivců ve věku 30–89 let bylo 0,77 %, 0,64 % a 0,13 %³⁶. Ve Spojených státech je prevalence RVO, BRVO a CRVO 0,7 %–0,8 %, 0,6 % a 0,1 %–0,2 %, v tomto pořadí^{37,38}. Nicméně, studie o prevalence RAO je omezená. Současná studie odhalila silně korelace mezi vakcinací mRNA vakcíny a retinalem cévní okluze. Doporučujeme však, aby jednotlivci

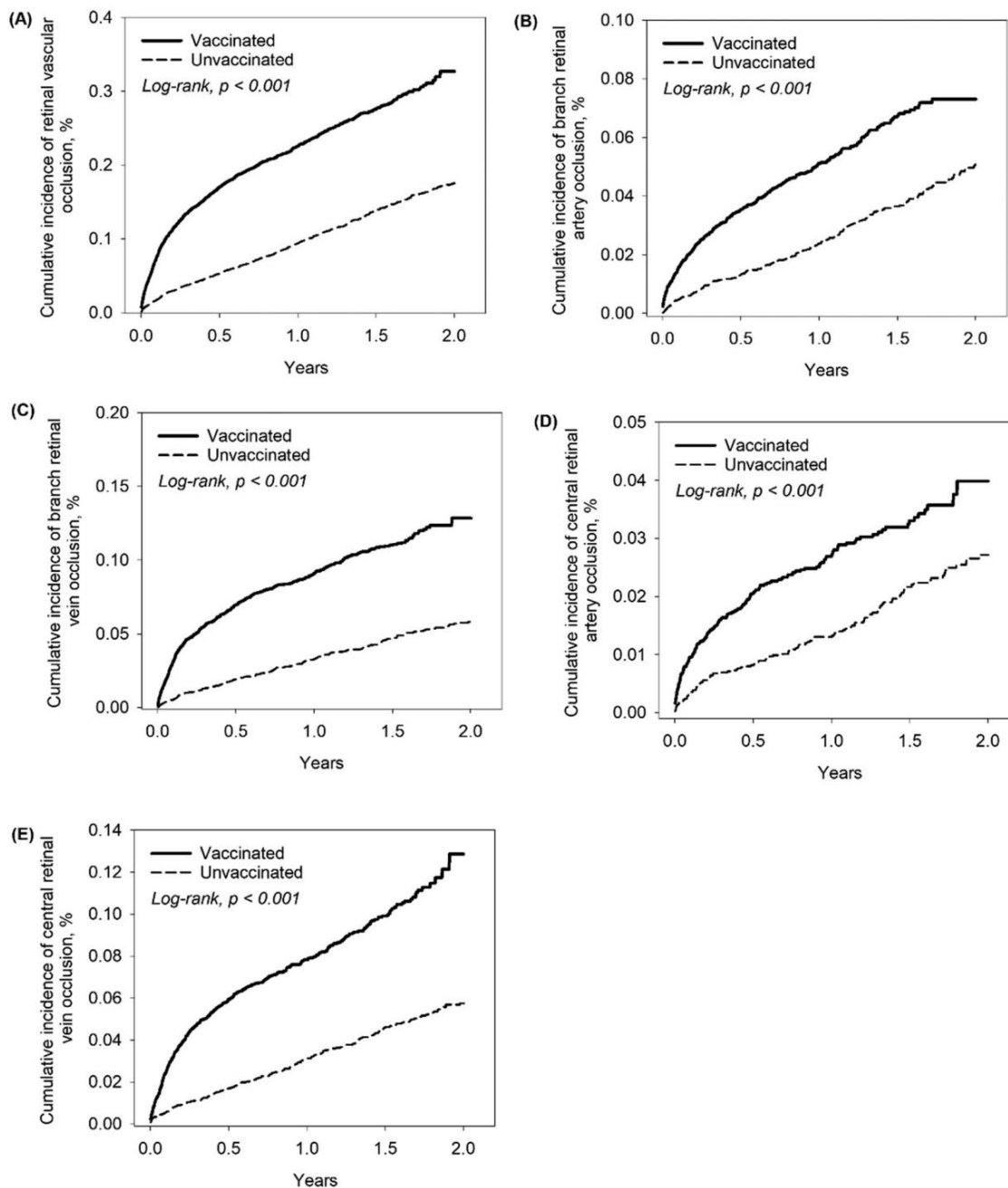
bez anamnézy závažné alergické reakce na kteroukoli složku vakcíny být očkován k ochraně proti COVID-19, vzhledem k tomu, že neexistuje definitivní příčinná souvislost mezi vaskulární okluzí sítnicená celém světě mezi prosincem 2020 a prosincem 2021³⁹. Očkování je tedy nejúčinnější metodou prevence šíření SARS-CoV-2.



Obr. 2 Lesní graf rizika retinální vaskulární okluze s 2letým a 12týdenním sledováním. A 2 roky a (B) 12 týdnů. HR hazard ratio, dolní mez spolehlivosti LCL, horní mez spolehlivosti UCL, USA, Spojené státy americké.



Obr. 3 Dvoutýdenní průměrný poměr rizik retinální vaskulární okluze a jejich podtypů odhadnutý pomocí Coxova modelu proporcionální regrese rizika specifického pro příčinu po vakcinaci COVID-19. Cévní okluze sítnice, (B) okluze větve retinální tepny, (C) okluze větve retinální žily, (D) okluze centrální retinální tepny a (E) okluze centrální retinální žily. HR hazard ratio, LCL dolní mez spolehlivosti, UCL horní mez spolehlivosti.



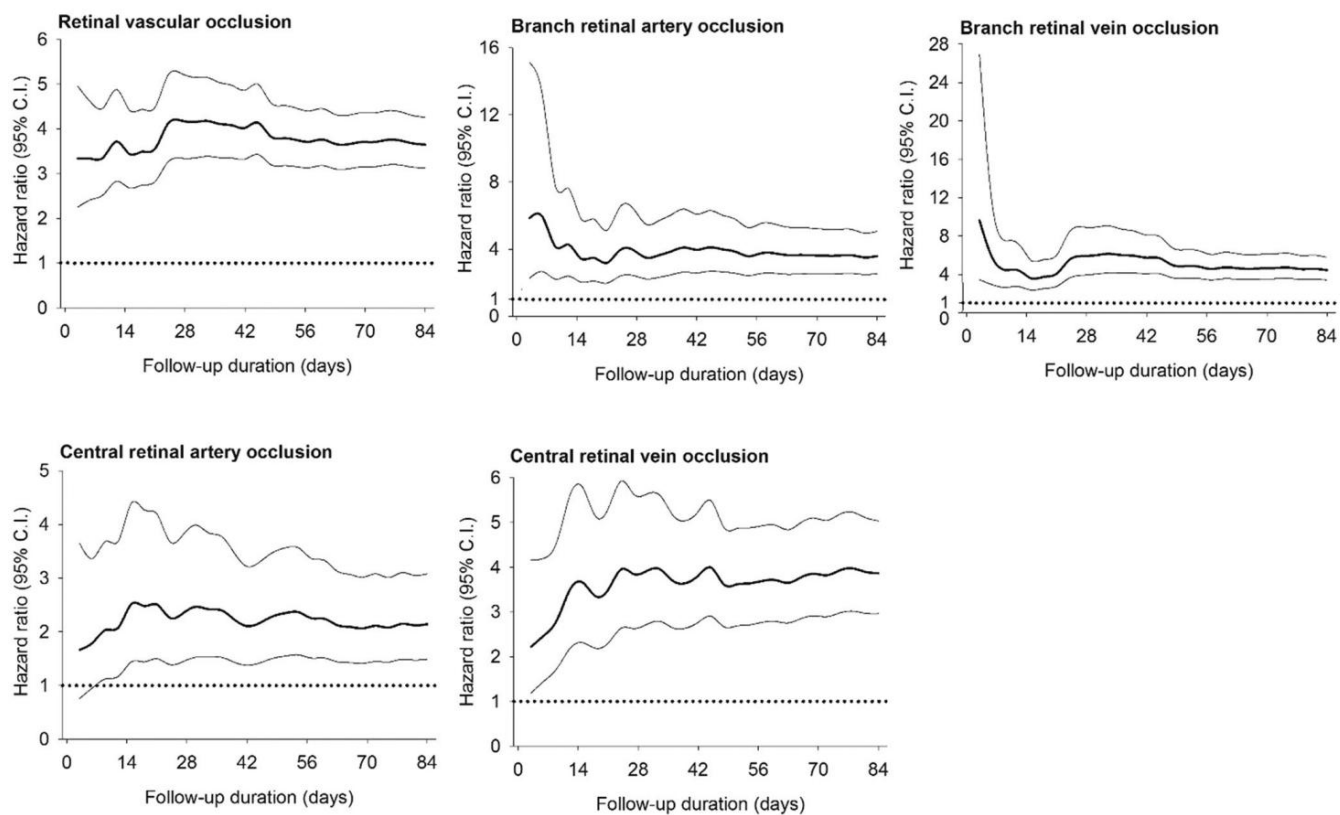
Obr. 4 Kaplan-Meierovy křivky ukazující kumulativní výskyt retinální vaskulární okluze a jejích subtypů za 2 roky. Cévní okluze sítnice, (B) okluze větve retinální tepny, (C) okluze větve retinální žily, (D) okluze centrální retinální tepny a (E) okluze centrální retinální žily.

potvrzeno. Za druhé, HR lze vypočítat pomocí databáze TriNetX; p-hodnota však není poskytnuta. Za třetí, navzdory skutečnosti, že bylo zohledněno více matoucích proměnných, mohou stále existovat zbytkové matoucí proměnné a zkreslovat výsledky. K ověření účinnosti vakcinace mRNA proti vaskulární okluzi sítnice jsou vyžadována další klinická vyšetření.

Za čtvrté, pro znevýhodněné osoby je obtížnější vyhledat lékařskou pomoc v rámci pandemie COVID-19, protože si myslí, že nemusí platit za vakcíny proti COVID-19. Navíc nemusí být zaznamenána retinální vaskulární okluze s žádnými nebo mírnými příznaky. Podhodnocení vaskulární okluze sítnice a vakcinace tedy může do určité míry ovlivnit studii. A konečně, TriNetX shromažďuje informace o pacientech pouze tehdy, když je pacientovi poskytnuta péče od jedné ze zúčastněných zdravotnických organizací. Zahrnutí též získané z

jiné instituce nebylo v této analýze možné. Ztráta sledování má potenciál narušit distribuci kovariát a výskyt výsledků. Stručně řečeno, data by měla být vyhodnocována kriticky a opatrně vzhledem k retrospektivní povaze tohoto šetření.

Tato rozsáhlá cohorta trvající dva roky zkoumá souvislost mezi retinální vaskulární okluzí a očkováním proti COVID-19. Bylo pozorováno 2,19krát zvýšené riziko retinální vaskulární okluze po očkování proti COVID-19. Omezené důkazy a nízká frekvence onemocnění zkomplikovaly vytvoření definitivního spojení mezi oběma. Současná zjištění podporují závěry této série případů. To zdůrazňuje nutnost důkladné studie a oftalmologů, aby zvážili pravděpodobnost vaskulární okluze sítnice u zranitelných pacientů



Obr. 5 Rizika vaskulární okluse sítnice a jejich podtypů významně zvýšená po očkování proti COVID-19. Byl prokázán časový průběh poměrů rizik retinální vaskulární okluse a jejich podtypů po očkování proti COVID-19. Je třeba poznamenat, že riziko okluse větvení sítnice bylo po očkování extrémně vysoké.

po aplikaci vakcín proti COVID-19. Očkování se doporučuje chránit před COVID-19, protože výskyt retinální vaskulární okluse zůstává extrémně nízký.

METODY

Návrh studie a účastníci Tato

retrospektivní kohortová studie byla založena na datech poskytnutých globální síti TriNetX, velkou a federovanou výzkumnou sítí; četné renomované studie tuto databázi využily^{40–44}. Data pro tuto analýzu byla omezena na údaje o pacientech ze Spojených států shromážděné mezi 1. lednem 2020 a 31. prosincem 2022, odvozené od 52 zdravotnických organizací. Federovaná síť TriNetX obdržela výjimku od západního institucionálního kontrolního výboru, protože pouze shromažďovala počty a statistické souhrny neidentifikovaných informací; nebyly však shromažďovány chráněné zdravotní informace a v retrospektivních analýzách nebyly prováděny žádné činnosti specifické pro studii. Protokol studie byl schválen institucionální revizní radou Chung Shang Medical University Hospital.

Výsledky a kovariáty

Mezinárodní klasifikace nemocí, desátá revize, klinická modifikace (ICD-10-CM) kódy H34.1 a H34.2, v tomto pořadí, definují okluzi centrální retinální artérie (CRAO) a okluzi větvené retinální artérie (BRAO). Kódy ICD-10-CM H34.81 a H34.83 definují okluzi centrální retinální žily (CRVO) a okluzi větvené retinální žily (BRVO). ICD-10-CM kód H34 indikoval retinální vaskulární okluzi. Účastníci s infekcí COVID-19 identifikovanou pozitivní polymerázovou řetězovou reakcí nebo výsledky imunoglobulinu A, G nebo M v plazmě nebo séru byli vyloučeni. Účastníci, kteří dostali vakcíny mRNA

Byly zahrnuty BNT162b2 nebo mRNA-1273, které byly zdokumentovány v elektronických lékařských záznamech během období studie. Kontrolní skupinu tvořili jedinci, kteří nepodstoupili žádné očkování. Do případové i kontrolní skupiny byli zařazeni pouze jedinci s prvou diagnózou vaskulární okluse sítnice během sledovaného období.

Pacienti byli vyloučeni, pokud byla diagnóza retinální vaskulární okluse stanovena šest měsíců před datem indexu (nejstarší datum očkování proti COVID-19) nebo pokud čtyři týdny před datem indexu dostali antitrombotika, diuretika, perorální antikoncepcii nebo antihemoragiku. Antitrombotika zahrnují protidestičková činidla (aspirin, antagonisté receptoru P2Y12 a inhibitory glykoproteinu IIb/IIIa [GPIIb/IIIa]), antikoagulancia (heparin, warfarin, původně perorální antikoagulancia a původně inhibitory trombinu) a fibrinolytika (inhibitory aktivátoru plazminogenu). COVID-19 byl identifikován pomocí kritérií poskytovaných TriNetX a kódů ICD-10-CM v souladu s pokyny pro kódování Centers for Disease Control and Prevention.

Doplňková tabulka 4 uvádí kódy laboratoře, diagnózy a léků přijatých na platformě TriNetX, stejně jako kódy komorbidit ICD-10-CM a kódy anatomicko-terapeuticky chemických běžně používaných léků.

Statistická analýza

Použili jsme 1:1 propensity score přizpůsobení věku, pohlaví, rase, komorbiditám, medikaci a předchozí hospitalizaci, abychom snížili výběrové zkreslení a optimalizovali variace případových a kontrolních kohort. Byly odhadnuty nejbližší skóre sklonu pro případy a kontroly. Použili jsme algoritmus nejbližšího souseda k odvození shodných páru s hodnotami standardizovaného středního rozdílu <0,1, abychom indikovali významný rozdíl mezi případy a kontrolami. Ke srovnání rizika výsledků byly použity modely hrubých a proporcionalních rizik Cox upravených o více proměnných

J.-X. Li a kol.

- mezi pouzdry a kontrolami. Výsledky srovnání jsou prezentovány jako HR a 95% intervaly spolehlivosti (CI).
- Byly provedeny testy chí-kvadrát (χ^2), aby se analyzovala homogenita proměnných kategorií, včetně věku, pohlaví, rasy a komorbidit, mezi očkovanými a neočkovanými skupinami.
- Mezi komorbidity patřily hypertenzní onemocnění (ICD-10-CM kód I10–I16), nadhváha a obezita (ICD-10-CM kód E66), diabetes mellitus 2. typu (ICD-10-CM kód E11), dyslipidémie (ICD-10-CM kód E78), cerebrovaskulární onemocnění (ICD-10-CM kód I60–I69), ischemické choroby srdeční (ICD-10-CM kód I82), glaukom (ICD-10-CM kód H40), arteriální tromboembolismus (ATE) (ICD-10-CM kód I74) a žilní tromboembolismus (VTE) (ICD-10-CM kód I82).
- Pro obě skupiny byly vypočteny četnosti výskytu subtypů retinální vaskulární okluse. Byl vypočten 95% interval spolehlivosti (CIs) pro riziko retinální vaskulární okluse. Kaplan-Meierova křivka přežití byla vynesena do grafu, aby popsal kumulativní výskyt retinální vaskulární okluse mezi dvěma skupinami, a rozdíly mezi těmito dvěma skupinami byly vyhodnoceny pomocí log-rank testu. Statistická významnost byla stanovena na $p < 0,05$. TriNetX zakrývá počty ve studiích s počty menšími než 10, aby chránil informace o zdraví pacientů jejich zaokrouhlením na nejbližších 10. Kdykoli se takové zaokrouhlení v analýze provedené v této studii vyskytlo, bylo identifikováno a hlášeno.
- Shrnutí zpráv Další**
informace o designu výzkumu jsou k dispozici v Souhrnu zpráv o výzkumu přírody propojeném s tímto článkem.
- DOSTUPNOST DAT**
Data jsou dostupná z globální sítě TriNetX. Žádost o data lze zaslat jako přihlášení na platformě TriNetX (<https://live.trinext.com/>).
- DOSTUPNOST KÓDU**
Data jsou dostupná z globální sítě TriNetX. Žádost o data lze zaslat jako přihlášení na platformě TriNetX (<https://live.trinext.com/>).
- Přijato: 8. listopadu 2022; Přijato: 11. dubna 2023;
Published online: 02 May 2023
- REFERENCE**
- Karia, N. Okluse retinální žily: patofysiologie a možnosti léčby. *Clin. Oftalmol.* 4, 809–816 (2010).
 - Au, SCL & Ko, CKL Oční mrtvice a COVID-19. *Hong. Kong Med. J.* 27, 231 (2021).
 - Au, SCL Okluse centrální retinální tepny u COVID-19. *Indian J. Ophthalmol.* 69, 2905–2906 (2021).
 - Sugihara, K., Kono, M. & Tanito, M. Okluse větvění retinální žily po vakcíně COVID-19 založené na messenger RNA. *Case Rep. Ophthalmol.* 13, 28–32 (2022).
 - Sodhi, PK, Yadav, A., Sharma, B., Sharma, A. & Kumar, P. Okluse centrální retinální žily po první dávce vakcíny COVID. *Cureus* 14, e25842 (2022).
 - Dutta Majumder, P. & Prakash, VJ Retinální venózní okluse po očkování proti COVID-19: zpráva o případu po třetí dávce a přehled literatury. *Indián J. Oftalmol.* 70, 2191–2194 (2022).
 - Pur, DR, Catherine Danielle Burzstyn, LL & Iordanous, Y. Okluse větvění retinální žily u zdravého mladého muže po očkování mRNA COVID-19. *Dopoledne. J. Oftalmol.* 26, 101445 (2022).
 - Abdin, AD, Gartner, BC & Seitz, B. Okluse centrální retinální tepny po podání vakcíny COVID-19. *Dopoledne. J. Oftalmol.* 26, 101430 (2022).
 - Peters, MC, Cheng, SSH, Sharma, A. & Moloney, TP Okluse retinální žily po očkování proti COVID-19. *Clin. Exp. Oftalmol.* 50, 459–461 (2022).
 - Sacconi, R., Simona, F., Forte, P. & Querques, G. Okluse retinální žily po imunizaci dvěma dávkami mRNA-1237 (Moderna) pro SARS-CoV-2: případová zpráva. *Oftalmol. Ther.* 11, 453–458 (2022).
 - Endo, B., Bahamon, S. & Martinez-Pulgarin, DF Okluse centrální retinální žily po očkování mRNA SARS-CoV-2: kazuistika. *Indian J. Ophthalmol.* 69, 2865–2866 (2021).
 - Sonawane, NJ, Yadav, D., Kota, AR & Singh, HV Okluse centrální retinální žily po očkování proti COVID-19. *Indian J. Ophthalmol.* 70, 308–309 (2022).
 - Girbhardt, C. a kol. Cévní příhody sítnice po mRNA a vakcínách COVID-19 s adenovirovým vektorem – série případů. *Vakcín* (Basilej). 9, 1349 (2021).
 - Yeung, M., Su, CK, Au, SCL Okluse retinální arterie související s vakcínou u dospělých: a přehled aktuální literatury. *J. Stroke Cerebrovasc. Dis.* 106694 (2022).
 - Su, CK & Au, SCL Izolované a kombinované jednostranné uzávěry centrální retinální tepny a žily po očkování: přehled literatury. *J. Stroke Cerebrovasc. Dis.* 31, 106552 (2022).
 - Shah, PP, Gelnick, S., Jonisch, J., Verma, R. Centrální okluse retinální žily fol. lowing BNT162b2 (Pfizer-BioNTech) messenger RNA vakcína COVID-19. *Retin Cases Brief Rep.* (2021). https://journals.lww.com/retinalcases/Abstract/9000/Central_Retinal_Vein_Occlusion_Following_BNT162b2_98365.aspx.
 - Cackett, P., Bafiq, R., Ali, A. & Young, SL Fenotypový vzhled okluse centrální retinální žily po vakcíně AstraZeneca. *Int. J. Ophthalmol.* 15, 672–673 (2022).
 - Modjtabai, BS, Do, D., Luong, TQ & Shaw, J. Změny ve výskytu retinálních vaskulárních okluzí po diagnóze COVID-19. *JAMA Ophthalmol.* 140, 523–527 (2022).
 - Ponto, KA a kol. Prevalence a rizikové faktory okluse retinální žily: Guttenbergova zdravotní studie. *J. Thromb. Haemost.* 13, 1254–1263 (2015).
 - Wang, J. a kol. Cévní abnormality sítnice a jejich asociace s kardiovaskulárními a cerebrovaskulárními chorobami: studie ve venkovském jihzápadním Harbinu v Číně. *BMC Ophthalmol.* 20, 136 (2020).
 - Moss, HE Cévní změny sítnice jsou markerem cerebrálních cévních onemocnění. *Curr. Neurol. Neurosci. Rep.* 15, 40 (2015).
 - Menter, T. a kol. Postmortální vyšetření pacientů s COVID-19 odhaluje difuzní alveolární poškození s těžkou kongescí kapilár a pestřími nálezy v plícních a dalších orgánech svědčících o vaskulární dysfunkci. *Histopathology* 77, 198–209 (2020).
 - Greinacher, A. a kol. Trombotická trombocytopenie po očkování ChAdOx1 nCoV-19. *N. Engl. J. Med.* 384, 2092–2101 (2021).
 - Hippisley-Cox, J. a kol. Riziko trombocytopenie a tromboembolie po očkování covid-19 a pozitivním testování na SARS-CoV-2: samokontrolovaná případová studie. *BMJ* 374, n1931 (2021).
 - Zheng, Y. a kol. Kritická role CD4 T buněk v produkci protilátek PF4/heparin u myší. *Krev* 125, 1826–1829 (2015).
 - Makris, M. & Pavord, S. Většina případů trombózy a syndromu trombocytopenie (TTS) po ChAdOx1 nCoV-19 je vakcínou indukovaná imunitní trombotická trombocytopenie (VITT). *Lancet Reg. Zdraví Eur.* 12, 100274 (2022).
 - Coughlan, L. Faktory, které přispívají k imunogenicitě nereplikujících se adenovirových vektorovaných vakcíny. *Front Immunol.* 11, 909 (2020).
 - Schonborn, L. a kol. Většina protilátek proti PF4 u imunity vyvolané vakcínou trombotická trombocytopenie je přechodná. *Krev* 139, 1903–1907 (2022).
 - Allas, GDO, Arizala, JDR & Manalo, RVM adenovirová vakcinka COVID-19 indukovala imunitní trombotickou trombocytopenii (VITT), trombózu související s COVID-19 a trombotické trombocytopenické syndromy. *Hematol. Rep.* 14, 358–372 (2022).
 - Bijweringen Centrum Lareb. Přehled vakcín proti COVID-19 a VITT/TTS (trombóza se syndromem trombocytopenie), aktualizovaný v březnu 2022. (2022). https://www.lareb.nl/media/eh2btw20/signals_2022_update-overview-tts.pdf.
 - Li, X. a kol. Srovnávací riziko trombózy se syndromem trombocytopenie nebo tromboembolickými příhodami spojenými s různými vakcínami covid-19: mezinárodní sítová kohortová studie z pěti evropských zemí a USA. *BMJ* 379, e071594 (2022).
 - Nguyen, TT a kol. Genomové mutace a změny v sekundární struktuře proteinů a dostupnosti rozpouštědel SARS-CoV-2 (vírus COVID-19). *Sci. Rep.* 11, 3487 (2021).
 - Corbett, KS a kol. Návrh mRNA vakcíny SARS-CoV-2 umožněný prototypem připravenost na patogeny. *Příroda* 586, 567–571 (2020).
 - Heinz, FX & Stiasny, K. Rozlišovací znaky současných vakcín COVID-19: známé a neznámé prezentace antigenu a způsoby účinku. *Kina NPJ Vac.* 6, 104 (2021).
 - Hwa, KY, Lin, WM, Hou, YI & Yeh, TM Peptidové napodobování mezi spike proteinem SARS koronaviru a lidskými proteiny reaguje se sérem pacienta se SARS. *J. Biomed. Biotechnol.* 2008, 326464 (2008).
 - Song, P., Xu, Y., Zha, M., Zhang, Y. & Rudan, I. Globální epidemiologie okluse retinální žily: systematický přehled a metaanalýza prevalence, incidence a rizikových faktorů. *J. Glob. Zdraví* 9, 010427 (2019).
 - Klein, R., Klein, BE, Moss, SE & Meuer, SM The epidemiology of retinal vein occlusion: the beaver dam eye study. *Trans. Dopoledne. Oftalmol. Soc.* 98, 133–141 (2000).
 - Cheung, N. a kol. Tradiční a nové kardiovaskulární rizikové faktory pro okluzi retinální žily: multietnická studie aterosklerózy. *Investig. Ophthalmol. Vis. Sci.* 49, 4297–4302 (2008).
 - Nás svět v datech GCDL. Očkování proti koronaviru (COVID-19) 2022 [Dostupné z: <https://ourworldindata.org/covid-vaccinations?country=USA>].

40. Wang, W., Kaelber, DC, Xu, R. & Berger, NA Průlom SARS-CoV-2 infekcí, hospitalizací a úmrtnosti u očkových pacientů s rakovinou v USA mezi prosincem 2020 a listopadem 2021. *JAMA Oncol.* 8, 1027–1034 (2022).
41. Kendall, EK, Olaker, VR, Kaelber, DC, Xu, R. & Davis, PB Asociace infekce SARS Cov-2 s nově vzniklým diabetem 1. typu mezi dětskými pacienty v letech 2020 až 2021. *JAMA Netw. OTEVŘENO* 5, e2233014 (2022).
42. Wang, L., Xu, R., Kaelber, DC & Berger, NA Časový trend a asociace časného nástupu kolorektálního karcinomu s divertikulární chorobou ve Spojených státech: 2010–2021. *Rakovina (Basilie). 14*, 4948 (2022).
43. Gharib, I., Annie, F. & Rinehart, S. TCT-551 Vliv vakcín proti COVID-19 na jedince, u kterých se vyskytuje výskyt netraumatických intrakraniálních krvácení. *J. Dopoledne. Kol. Cardiol.* 80, B227 (2022).
44. Mansoor, E. a kol. Epidemiologie zánětlivého onemocnění střev u mužů s vysokou rizikovou homosexuální aktivitou. *Střevo.* (2022). <https://doi.org/10.1136/gutjnl-2022-328218>.

AUTORSKÉ PŘÍSPĚVKY

J.-XL a Y.-HW měli plný přístup ke všem datům ve studii a převzali odpovědnost za integritu dat a přesnost analýzy dat. Získávání a analýza dat, statistická analýza: Y.-HW Interpretace dat, koncepce a design a zpracování rukopisu: J.-XL Kritická revize rukopisu pro důležitý intelektuální obsah: J.-XL, S.-BS, HB, C.-JL, CC Dozor: JC-CW, C.-JLY-HW je spoluprvním autorem.

DODATEČNÉ INFORMACE

Doplňkové informace Online verze obsahuje doplňkový materiál dostupný na <https://doi.org/10.1038/s41541-023-00661-7>.

Korespondence a žádosti o materiály by měly být adresovány Jamesi Cheng Chung Wei nebo Chun-Ju Lin.

Dotisky a informace o povolení jsou k dispozici na <http://www.nature.com/reprints>

Poznámka vydavatele Springer Nature zůstává neutrální, pokud jde o jurisdikční nároky v publikovaných mapách a institucionálních přidružených.



Otevřený přístup Tento článek je licencován pod mezinárodní licencí Creative Commons Attribution 4.0, která umožňuje použití, sdílení, adaptaci, distribuci a reprodukci na jakémkoliv médiu nebo formátu, pokud uvedete příslušné jméno původního autora (autora) a zdroje, uveďte odkaz na licenci Creative Commons a uvedete, zda byly provedeny změny. Obrázky nebo jiný materiál třetích stran v tomto článku jsou zahrnutы v licenci Creative Commons k článku, pokud není uvedeno jinak v kreditní hranici k materiálu. Pokud materiál není zahrnut v licenci Creative Commons článku a vaše zamýšlené použití není povoleno zákonnými předpisy nebo překračuje povolené použití, budete muset získat povolení přímo od držitele autorských práv. Chcete-li zobrazit kopii této licence, navštivte <http://creativecommons.org/licenses/by/4.0/>.

KONKURENČNÍ ZÁJMY

Autoři neuvádějí žádné konkurenční zájmy.

© Autor(i) 2023